

Project Name

序号	学号	专业班级	姓名	性别

1. Project Introduction

内容包括：（这部分内容不要太长，讲清楚即可）

- (1) 开发环境及系统运行要求，包括所用的开发工具、开发包、开源库、系统运行要求等；

开发环境：Windows10；

系统运行要求：Python 3.6；

开发工具：Pycharm；

开源库：matplotlib + numpy；

- (2) 工作分配简介，即谁要做什么事情
无分组，独立完成

2. Technical Details

内容包括：

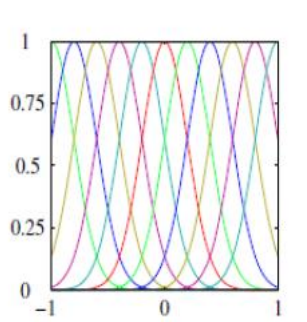
- (1) 工程实践当中所用到的理论知识阐述

1. 主要思想：本题的主要思想是通过**线性回归**进行图相恢复。本次实验采用了**高斯线性回归**的方法。本质上是把图片理解成为由多个（实验中用了 50 个 Φ ）不同 mean 相同方差的高斯函数组合的结果。然后通过没有被噪音污染的像素值，用最小二乘法算出对应每一行的 Φ 的权重（即每一行的 50 个函数的权重），最后再用这个权重和被污染像素的分度密度进行计算。

1,1	1,2	1,3	1,4	1,5
2,1	2,2	2,3	2,4	2,5

*划掉的代表是被污染的

1. 假设有 3 个高斯函数构成了每一行的图相也就是说对于每一个像素都是 $w_i * \Phi_{ii}(x_i)$ $i=1,2,3$ 即每一行每个高斯函数对应的权重*每个高斯函数 x_i 时的概率；



2. 然后通过最小二乘法，利用没有被污染的像素，也就是说正确的值来计算出权重 w_i ;

3. 再用这个权重 w_i *每个高斯函数 ϕ_i (被污染的像素) 来恢复图相;

	像素对应的密度分布函数	Phi1	Phi2	Phi3
像素对应的 x 坐标	对应坐标在对应高斯分布函数中的密度值			
X1				
X2				
...				
X3				

2. Basis Function 高斯函数:

There are many other possible choices for the basis functions, for example

$$\phi_j(x) = \exp \left\{ -\frac{(x - \mu_j)^2}{2s^2} \right\} \quad (3.4)$$

where the μ_j govern the locations of the basis functions in input space, and the parameter s governs their spatial scale. These are usually referred to as "Gaussian" basis functions, although it should be noted that they are not required to have a probabilistic interpretation, and in particular the normalization coefficient is unimportant because these basis functions will be multiplied by adaptive parameters w_j .

3.最小二乘法:

Maximum likelihood and least squares

- Assume:

$$t = y(\mathbf{x}, \mathbf{w}) + \epsilon \quad y(\mathbf{x}, \mathbf{w}) = \sum_{j=0}^{M-1} w_j \phi_j(\mathbf{x}) = \mathbf{w}^T \boldsymbol{\phi}(\mathbf{x})$$

- Thus:

$$p(t|\mathbf{x}, \mathbf{w}, \beta) = \mathcal{N}(t|y(\mathbf{x}, \mathbf{w}), \beta^{-1}) \rightarrow \mathbb{E}[t|\mathbf{x}] = \int t p(t|\mathbf{x}) dt = y(\mathbf{x}, \mathbf{w})$$

- For data set $\mathbf{X} = \{\mathbf{x}_1, \dots, \mathbf{x}_N\}$ and target vector $\mathbf{t} = (t_1, \dots, t_N)^T$, the likelihood function:

$$p(\mathbf{t}|\mathbf{X}, \mathbf{w}, \beta) = \prod_{n=1}^N \mathcal{N}(t_n|\mathbf{w}^T \boldsymbol{\phi}(\mathbf{x}_n), \beta^{-1})$$

$$\ln p(\mathbf{t}|\mathbf{w}, \beta) = \sum_{n=1}^N \ln \mathcal{N}(t_n|\mathbf{w}^T \boldsymbol{\phi}(\mathbf{x}_n), \beta^{-1}) = \frac{N}{2} \ln \beta - \frac{N}{2} \ln(2\pi) - \beta E_D(\mathbf{w})$$

SSE: sum-of-squares
error function

$$E_D(\mathbf{w}) = \frac{1}{2} \sum_{n=1}^N \{t_n - \mathbf{w}^T \boldsymbol{\phi}(\mathbf{x}_n)\}^2 = \frac{1}{2} \|\mathbf{t} - \boldsymbol{\Phi} \mathbf{w}\|^2$$

Maximum likelihood and least squares

$$\ln p(\mathbf{t}|\mathbf{w}, \beta) = \sum_{n=1}^N \ln \mathcal{N}(t_n|\mathbf{w}^T \boldsymbol{\phi}(\mathbf{x}_n), \beta^{-1}) = \frac{N}{2} \ln \beta - \frac{N}{2} \ln(2\pi) - \beta E_D(\mathbf{w})$$

$$E_D(\mathbf{w}) = \frac{1}{2} \sum_{n=1}^N \{t_n - \mathbf{w}^T \boldsymbol{\phi}(\mathbf{x}_n)\}^2 = \frac{1}{2} \|\mathbf{t} - \boldsymbol{\Phi} \mathbf{w}\|^2 \quad \mathbf{w} = (w_0, \dots, w_{M-1})^T$$

- Solving \mathbf{w} by ML:

$$\nabla \ln p(\mathbf{t}|\mathbf{w}, \beta) = \sum_{n=1}^N \{t_n - \mathbf{w}^T \boldsymbol{\phi}(\mathbf{x}_n)\} \boldsymbol{\phi}(\mathbf{x}_n)^T$$

$$0 = \sum_{n=1}^N t_n \boldsymbol{\phi}(\mathbf{x}_n)^T - \mathbf{w}^T \left(\sum_{n=1}^N \boldsymbol{\phi}(\mathbf{x}_n) \boldsymbol{\phi}(\mathbf{x}_n)^T \right) \Rightarrow \mathbf{w}_{ML} = (\boldsymbol{\Phi}^T \boldsymbol{\Phi})^{-1} \boldsymbol{\Phi}^T \mathbf{t}$$

$$\boldsymbol{\Phi} = \begin{pmatrix} \phi_0(\mathbf{x}_1) & \phi_1(\mathbf{x}_1) & \cdots & \phi_{M-1}(\mathbf{x}_1) \\ \phi_0(\mathbf{x}_2) & \phi_1(\mathbf{x}_2) & \cdots & \phi_{M-1}(\mathbf{x}_2) \\ \vdots & \vdots & \ddots & \vdots \\ \phi_0(\mathbf{x}_N) & \phi_1(\mathbf{x}_N) & \cdots & \phi_{M-1}(\mathbf{x}_N) \end{pmatrix} = \begin{pmatrix} \boldsymbol{\phi}(\mathbf{x}_1)^T \\ \boldsymbol{\phi}(\mathbf{x}_2)^T \\ \vdots \\ \boldsymbol{\phi}(\mathbf{x}_N)^T \end{pmatrix} \quad N \times M \text{ design matrix}$$

$$\boldsymbol{\Phi}^\dagger \equiv (\boldsymbol{\Phi}^T \boldsymbol{\Phi})^{-1} \boldsymbol{\Phi}^T \quad \text{Moore-Penrose pseudo-inverse}$$

- (2) 具体的算法，请用文字、示意图或者是伪代码等形式进行描述（不要贴大段的代码）

1. Mask 掩码:

通过判断污染图相的像素是否为 0, 如果是 0 的话则说明已经被污染, 如果不是 0 的话则说明是正确像素。

```
# noise mask
mask = (corrImg != 0)    # correct pixel
```

```
noiseMask = np.zeros((rows, cols, channels))
noiseMask[mask] = 1      # true: 1, false: 0
```

2. 高斯函数均值和方差：

本实验的高斯函数均值和 x 坐标正相关，方差则都为 0.01。

```
Phi_mu = np.linspace(start = 0, stop = cols-1, num = basisNum, endpoint
= True) / (cols-1)
# here we set the standard deviation to the same value for brevity
Phi_sigma = sigma * np.ones((1, basisNum))
```

3. 计算正确像素点对应的密度：

在本实验中使用了 50 个 basis function，即整张图片由 50 个均值不同方差相同的高斯函数线性组合而成。

```
# compute the coefficients / weight
Phi = np.hstack((np.ones((ddNum, 1)), np.zeros((ddNum, basisNum-1))))
for j in range(1, basisNum):
    Phi[:, j] = normPdf(np.transpose(x[ddIdx[0]]), Phi_mu[j-1],
Phi_sigma[0][j-1])
```

4. 最小二乘法求得权重：

通过最小二乘法求得 50 个 basis function 对应的权重。

```
w = np.dot(np.dot(np.linalg.inv(np.dot(np.transpose(Phi), Phi)),
np.transpose(Phi)), np.transpose(corrImg[i, ddIdx[0], k]))
```

5. 计算污染像素点对应的密度：

```
# restore the missing values
Phi1 = np.hstack((np.ones((misNum, 1)), np.zeros((misNum, basisNum -
1))))
for j in range(1, basisNum):
    Phi1[:, j] = normPdf(np.transpose(x[misIdx[0]]), Phi_mu[j - 1],
Phi_sigma[0][j - 1])
```

6. 利用权重和对应坐标的密度函数恢复图像：

```
resImg[i, misIdx[0], k] = np.dot(np.transpose(w), np.transpose(Phi1))
```

7. 一元高斯分布：

```
def normPdf(x, mu, sigma):
    return(np.exp(-(x - mu) ** 2 / (2 * sigma ** 2)))
```

- (3) 程序开发中重要的技术细节，比如用到了哪些重要的函数？这些函数来自于哪些基本库？功能是什么？自己编写了哪些重要的功能函

数？等等

1. 编写了对应的一元高斯函数函数，从而可以使得部分计算简化。

```
def normPdf(x, mu, sigma):  
    return(np.exp(-(x - mu) ** 2 / (2 * sigma ** 2)))
```

2. 在本实验中，图片的读入，显示和输出都使用了 matplotlib 库。

(1) 图片的读入：

```
# load corrupted img  
pathName = '../data/'  
corrImg = mpimg.imread(pathName + testName + '.png')
```

(2) 图片的显示：

```
# show the corrupted img and restored img  
plt.imshow(corrImg)  
plt.show()  
plt.imshow(resImg)  
plt.show()
```

(3) 图片的存储：

```
# store img  
plt.imshow(resImg)  
plt.axis('off')  
plt.savefig(pathName + testName + '_restored.png')
```

3. 要注意 python 的矩阵是从 0 开始计数的，而在 matlab 中则是从 1 开始计数的。因此在坐标分布的时候需要注意。

3. Experiment Results

用图文并茂的形式给出实验结果，如系统界面、操作说明、运行结果等，并对实验结果进行总结和说明。

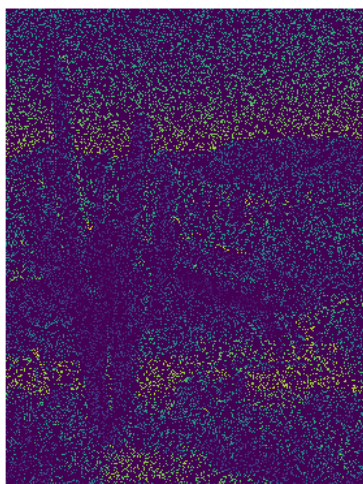
1. 操作说明：直接运行 main.py 文件。

(1) 修改文件名字：修改 main 函数第一行的 testName 变量；

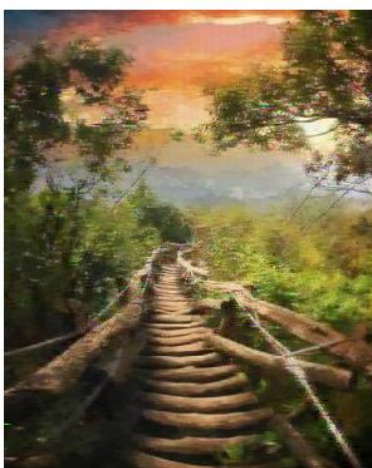
(2) 修改文件污染率：修改 main 函数第二行的 noiseRatios 变量；

2. 运行结果：修复的图片将直接存储在 data 文件夹中

(1)



(2)



(3)



References:

给出主要的参考文献，可以是论文、网站、书籍、别人的技术报告等。

1. 线性回归: <https://www.cnblogs.com/GuoJiaSheng/p/3928160.html>
2. 高斯过程回归: <https://zhuanlan.zhihu.com/p/24388992>
3. 最小二乘法: <https://www.cnblogs.com/lyrichu/p/7814651.html>
4. 题目解析: <https://blog.csdn.net/Woolseyyy/article/details/72663125>

备注:

代码中请给出较为详细的注释，此报告中切勿粘贴大量代码，否则扣分。